

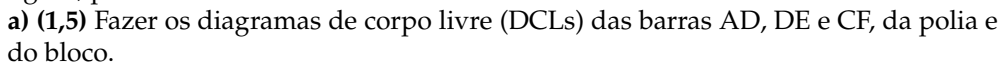
## ESCOLA POLITÉCNICA DA UNIVERSIDADE DE SÃO PAULO

## Departamento de Engenharia Mecânica

#### PME 3100 – Mecânica I – Reoferecimento 2025 – Prova 1 – 03 de Abril de 2025

Instruções gerais e formulário estão no caderno de respostas. Se sair antes do término, entregue esta folha ao aplicador.

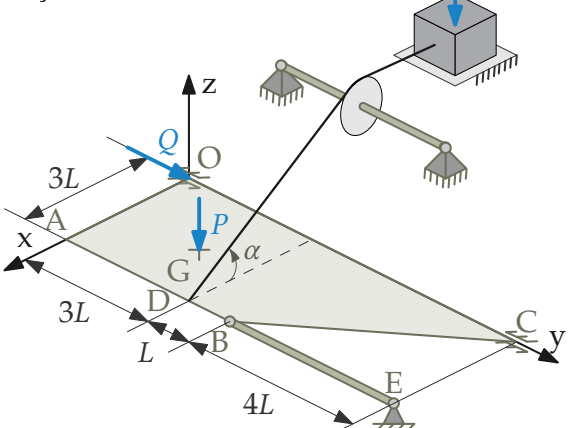
**Questão 1 (3,0 pontos)**. A figura ao lado mostra uma estrutura constituída pelas barras esbeltas AD, CF e DE, por uma polia de centro A e por um bloco. O bloco tem peso *P* e todos os demais elementos têm peso desprezível. Aplica-se sobre a barra CF um momento *M*k. O fio que sustenta o bloco, as articulações A, C, D, E e F e o apoio simples em B são todos ideais. Considerando a configuração da estrutura apresentada na figura, pede-se:



**b) (0,5)** Obter, em função de *M* e *R*, a componente horizontal da força de reação em C aplicada pela barra DA sobre a barra CF.

**c) (1,0)** Obter, em função de *P*, *M* e *R*, a componente vertical da força de reação em C aplicada pela barra DA sobre a barra CF, bem como a força na barra DE.

**Questão 2** (3,5 pontos). A figura ao lado mostra uma placa plana OABC contida no plano horizontal Oxy e sustentada por um anel em O, um anel em C, um fio ideal em D e uma barra esbelta e de massa desprezível em B. A placa tem peso P e sobre ela age uma força Q  $\vec{J}$  em O. O fio está contido em um plano paralelo ao plano Oxz e forma um ângulo  $\alpha$  com a placa. Além disso, o fio está ligado a um bloco de peso P que se encontra em repouso sobre uma superfície plana horizontal. O coeficiente de atrito estático entre o bloco e a superfície horizontal é  $\mu$ . Considerando a configuração do sistema mostrada na figura, pede-se: **a)** (0,6) obter a expressão de  $y_G$  (em função de L) que permite expressar a posição do centro de massa G da placa como  $(G - O) = \frac{4}{3}L$   $\vec{1} + y_G$   $\vec{j}$ .



2R

**b)** (0,6) O DCL da placa e o DCL do bloco.

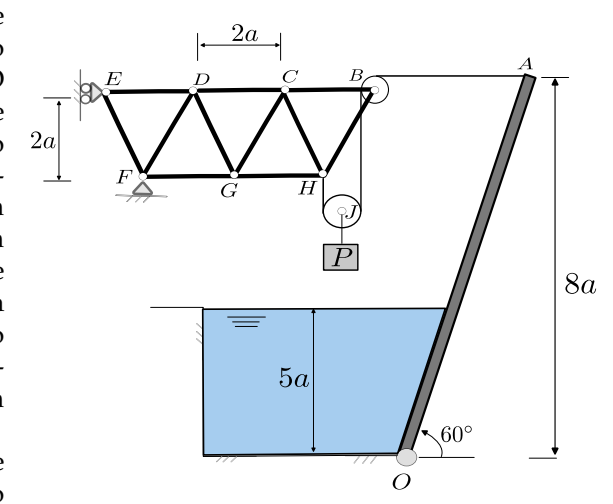
c) (1,2) O sistema de equações que permite o cálculo das forças de reações sobre a placa plana na condição de equilíbrio estático, utilizando o ponto O como polo para cálculo dos momentos.

d) (0,6) A partir do sistema de equações, obtenha as componentes das forças de reação sobre a placa devidas ao fio, ao anel C e à barra BE.

e) (0,5) A condição que o ângulo  $\alpha$  deve satisfazer para que o bloco não escorregue.

**Questão 3 (3,5 pontos)** A figura ao lado mostra a seção transversal de um reservatório de largura b (ortogonal ao plano da figura), projetado para armazenar um fluido ideal de peso específico  $\gamma$ , constante. O fluido é mantido no reservatório por meio da comporta rígida OA , de peso desprezível e articulada idealmente ao solo em O com um ângulo de  $60^\circ$  com o plano horizontal. Para garantir o equilíbrio estático do sistema, um cabo conecta a comporta a uma estrutura que é constituída por duas polias de centro em B e J, e pela treliça BCDEFGH formada por barras de massa desprezível que formam triângulos isósceles de base 2a e altura 2a. A treliça é suportada por uma articulação ideal em F e simplesmente apoiada em E. O bloco de peso P está suspenso pelo centro da polia J e o cabo que conecta a comporta ao nó H pode deslizar sem atrito pelas polias. Considerando a configuração do sistema mostrada na figura, pede-se:

**a)** (0,6) Os diagramas de corpo livre (DCLs) das polias de centros B e J e da treliça BCEEFGH, considerando esta última como um corpo rígido único.



b) (0,9) As reações externas em E e F.

c) (0,6) Obter a força na barra CD, indicando explicitamente (i) o diagrama utilizado para tal e (ii) se a barra está em tração ou compressão.

**d) (1,0)** Esboçar o DCL da comporta rígida OA, calculando a resultante das forças hidrostáticas sobre a mesma e indicando a sua linha de ação.

e) (0,4) A razão  $P/\gamma$  compatível com a condição de equilíbrio estático apresentada.



## ESCOLA POLITÉCNICA DA UNIVERSIDADE DE SÃO PAULO

# Departamento de Engenharia Mecânica

### Questão 1 - Resolução

**a)** Os diagramas são apresentados na figura ao lado. (1,5) Desconto de (0,5) para cada erro identificado.

**b)** Do equilíbrio de momentos da barra CF (polo F) (0,5):

$$M_{\rm Fz} = 0 \implies 2RH_{\rm C} - M = 0 \implies H_{\rm C} = \frac{M}{2R}$$

c) Do equilíbrio de forças na barra AD (0,5):

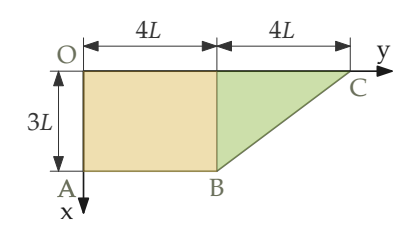
$$R_{\rm x} = 0 \implies -T_{\rm DE} \frac{\sqrt{2}}{2} - H_{\rm C} - P = 0 \implies \boxed{T_{\rm DE} = -\sqrt{2} \left(\frac{M}{2R} + P\right)}$$
 (compressão)

Do equilíbrio de momentos na barra AD (polo B) (0,5):

$$M_{\rm Bz} = 0 \ \Rightarrow \ -3RT_{\rm DE}\frac{\sqrt{2}}{2} + 2RV_{\rm C} - 2RP = 0 \ \Rightarrow \boxed{V_{\rm C} = -\frac{3M}{4R} - \frac{P}{2}}$$

### Questão 2 - Resolução

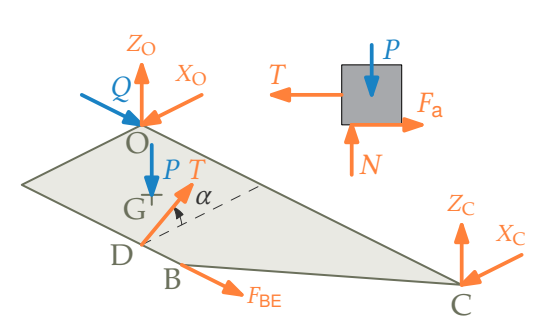
- a) Concebendo, conforme figura ao lado, a placas OABC como a composição de duas placas:
- (i) uma retangular, de área  $A_1 = 12L^2$  e centro de massa  $G_1 = \left(\frac{3L}{2}, 2L, 0\right)$ ;
- (ii) uma triangular, de área  $A_2 = 6L^2$  e centro de massa  $G_2 = \left(L, 4L + \frac{4L}{3}, 0\right)$ ; temos, da hipótese de homogeneidade:



$$(G - O) = \frac{A_1(G_1 - O) + A_2(G_2 - O)}{A_1 + A_2} = \frac{12L^2 \left(\frac{3L}{2}\vec{1} + 2L\vec{j}\right) + 6L^2 \left(L\vec{1} + \frac{16L}{3}\vec{j}\right)}{18L^2}$$

$$(G - O) = \frac{4}{3}L\vec{i} + \frac{28}{9}L\vec{j} \quad \Rightarrow \quad \boxed{y_G = \frac{28}{9}L}$$

**b)** Os diagramas são apresentados na figura ao lado. (0,4) para o DCL da placa; (0,2) para o DCL do bloco. Desconto de (0,15) por erro identificado nos diagramas.



c) A partir do DCL da placa, obtemos a resultante de momentos com respeito ao polo O:

$$\begin{split} \vec{\mathrm{M}}_{\mathrm{O}} &= (\mathrm{G} - \mathrm{O}) \wedge \vec{\mathrm{P}} + (\mathrm{D} - \mathrm{O}) \wedge \vec{\mathrm{T}} + (\mathrm{B} - \mathrm{O}) \wedge \vec{\mathrm{F}}_{\mathrm{BE}} + (\mathrm{C} - \mathrm{O}) \wedge \vec{\mathrm{F}}_{\mathrm{C}} \\ &= L \left( \frac{4}{3} \vec{\mathrm{i}} + \frac{28}{9} \vec{\mathrm{j}} \right) \wedge (-P\vec{\mathrm{k}}) + 3L(\vec{\mathrm{i}} + \vec{\mathrm{j}}) \wedge T(-\cos\alpha\vec{\mathrm{i}} + \sin\alpha\vec{\mathrm{k}}) + L(3\vec{\mathrm{i}} + 4\vec{\mathrm{j}}) \wedge F_{\mathrm{BE}}\vec{\mathrm{j}} + 8L\vec{\mathrm{j}} \wedge \left( X_{\mathrm{C}}\vec{\mathrm{i}} + Z_{\mathrm{C}}\vec{\mathrm{k}} \right) \\ &= \left( -\frac{28}{9} LP + 3LT\sin\alpha + 8LZ_{\mathrm{C}} \right) \vec{\mathrm{i}} + \left( \frac{4}{3} LP - 3LT\sin\alpha \right) \vec{\mathrm{j}} + (3LT\cos\alpha + 3LF_{\mathrm{BE}} - 8LX_{\mathrm{C}}) \vec{\mathrm{k}} \end{split}$$

Assim, as condições de equilíbrio da placa podem ser descritas como (0,2 para cada equação correta):

$$\vec{M}_{O} = \vec{0} : \begin{cases} -\frac{28}{9}LP + 3LT\sin\alpha + 8LZ_{C} = 0 & (1) \\ \frac{4}{3}LP - 3LT\sin\alpha = 0 & (2) \\ 3LT\cos\alpha + 3LF_{BE} - 8LX_{C} = 0 & (3) \end{cases} \qquad \vec{R} = \vec{0} : \begin{cases} X_{O} + X_{C} - T\cos\alpha = 0 & (4) \\ F_{BE} + Q = 0 & (5) \\ Z_{O} + Z_{C} + T\sin\alpha - P = 0 & (6) \end{cases}$$

(0,6)



d) Das equações (2) e (5), obtemos, respectivamente (0,1 cada):

$$T = \frac{4P}{9\sin\alpha}$$

$$F_{\rm BE} = -Q$$

Substituindo as expressões obtidas para T e  $F_{\rm BE}$  nas equações (1) e (3), obtemos (0,2 cada):

$$Z_{\rm C} = \frac{2P}{9}$$

$$Z_{\rm C} = \frac{2P}{9} \qquad X_{\rm C} = \frac{P}{6\tan\alpha} - \frac{3Q}{8}$$

e) Das condições de equilíbrio para o bloco:

$$\vec{R} = \vec{0} : \begin{cases} F_{\mathsf{a}} - T = 0 & (7) & \Rightarrow F_{\mathsf{a}} = \frac{4P}{9 \sin \alpha} \\ N - P = 0 & (8) & \Rightarrow N = P \end{cases}$$

Da condição de não-escorregamento (0,5):

$$|F_{\mathsf{a}}| \le \mu N \quad \Rightarrow \quad \frac{4P}{9\sin\alpha} \le \mu P \quad \Rightarrow \quad \boxed{\sin\alpha \ge \frac{4}{9\mu}}$$

### Questão 3 - Resolução

a) Os diagramas são apresentados na figura ao lado. Desconto de (0,1) para cada erro identificado nos DCLs.

b) Das equações de equilíbrio para a treliça BCEEFGH (i.e., considerada como um corpo rígido único) e tomando o polo F para somatório de momentos:

$$R_{\rm x} = 0 \implies X_{\rm E} + X_{\rm F} + \frac{P}{2} = 0$$
 (0,2)

$$R_{\rm y} = 0 \implies Y_{\rm F} - \frac{P}{2} - \frac{P}{2} = 0$$
 (0,2)

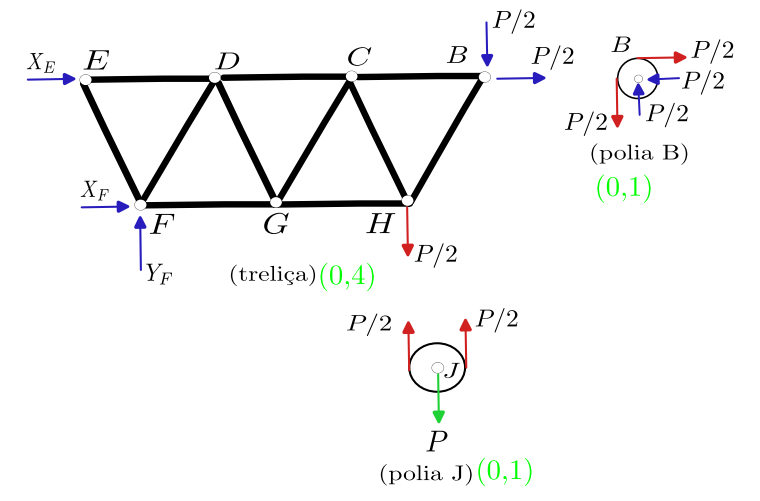
$$M_{\rm Fz} = 0 \implies -2aX_{\rm E} - 2a\frac{P}{2} - 5a\frac{P}{2} - 4a\frac{P}{2} = 0$$
 (0,2)

Resolvendo o sistema de equações (0,1 cada):

$$X_{\rm E} = \frac{-11P}{4}$$

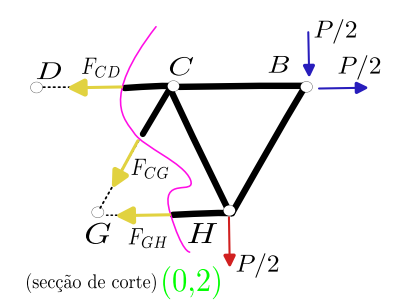
$$X_{\rm F} = \frac{9P}{4}$$

$$Y_{\rm F} = P$$



c) Considerando a secção de corte ao lado, o equilíbrio de momentos na secção (polo G)

$$M_{\rm Gz} = 0 \implies -2a\frac{P}{2} - 2a\frac{P}{2} - 3a\frac{P}{2} + 2aF_{\rm CD} = 0 \implies \boxed{F_{\rm CD} = \frac{7P}{4}} \ (0,2) \ ({\rm tração}) \ (0,2)$$





## ESCOLA POLITÉCNICA DA UNIVERSIDADE DE SÃO PAULO

## Departamento de Engenharia Mecânica

**d)** O diagrama está apresentado na figura ao lado. Desconto de 0,2 para cada erro identificado.

**e)** A resultante das forças hidrostáticas pode ser calculada pelo volume do prisma de pressão, assim:

$$R = \frac{1}{2} (5a\gamma) \left( \frac{5a}{\sin 60^{\circ}} \right) (b) \implies R = \frac{25\sqrt{3}\gamma a^2 b}{3}$$
 (0,2)

A coordenada do centro de pressão em relação a articulação em O na direção da comporta é denotada por  $d_p$  e pode ser calculada por:

$$d_{\rm p} = \frac{1}{3} \left( \frac{5a}{\sin 60^{\circ}} \right) \implies d_{\rm p} = \frac{10a\sqrt{3}}{9}$$
 (0,2)

Do equilíbrio de momentos na comporta OA (polo O):

$$M_{\rm Oz} = 0 \implies 8a\frac{P}{2} - \left(\frac{10a\sqrt{3}}{9}\right)\frac{25\sqrt{3}\gamma a^2 b}{3} = 0 \implies \boxed{\frac{P}{\gamma} = \frac{125a^2b}{18}}$$
 (0,4)

